

не нарушалась, поскольку у животных опытной и контрольной групп не было различий между значениями максимального насыщения тканей кислородом, времени начала утилизации и ее продолжительности.

Только при рахите III степени наблюдало существенное ухудшение утилизации кислорода мышечной тканью, что проявлялось в уменьшении максимального прироста  $pO_2$  в тканях по сравнению с исходным значением, увеличении латентного периода до начала утилизации и времени, необходимого на потребление кислорода.

Анализ результатов исследования динамики показателей кислородного обеспечения ткани печени крыс с экспериментальным рахитом различной степени тяжести позволил установить, что при рахите I степени контролируемые показатели кислородной обеспеченности ткани печени не изменялись по сравнению с таковыми у здоровых животных. При рахите II степени отмечали снижение исходного  $pO_2$  в ткани печени. Результаты функциональной нагрузки (ингаляция кислорода) свидетельствуют об увеличении латентного периода повышения  $pO_2$ , времени достижения его максимального значения, а также снижении максимального прироста  $pO_2$ . При рахите III степени в отличие от рахита II степени также наблюдается увеличение продолжительности утилизации кислорода тканью печени.

Изучение особенностей метаболизма углеводов у животных с экспериментальным рахитом позволило установить у них существенное повышение концентрации пирувата и лактата в сыворотке крови по сравнению с таковой у здоровых животных. Концентрация пирувата и лактата при рахите II степени составляла 517 мкмоль/л  $\pm$  7 мкмоль/л и 4,37 ммоль/л  $\pm$  0,2 ммоль/л соответственно (у здоровых животных 279 мкмоль/л  $\pm$  20 мкмоль/л и 2,08 ммоль/л  $\pm$  0,03 ммоль/л соответственно; в обоих случаях  $P < 0,05$ ).

В ткани печени, помимо повышения концентрации этих двух метаболитов, существенно увеличилось содержание оксалоацетата,  $\alpha$ -кетоглутарата, малата и глутамата (табл. 2). Накопление продуктов неполного окисления углеводов в крови, увеличение их содержания в печени может свидетельствовать о наличии тканевой гипоксии, что согласуется с полученными результатами о нарушении кислородного обеспечения тканей при экспериментальном рахите.

В то же время происходит нарушение окислительно-восстановительных процессов. Судя по значениям отношения НАД к НАДН в печени крыс с экспериментальным рахитом II степени (табл. 3), у них снижается окислительная способность цитоплазмы.

Таблица 2. Влияние раздельного и совместного введения витамина D<sub>3</sub> и пирацетама на содержание промежуточных продуктов (мкмоль/г сырой ткани) обмена трикарбоновых кислот и глутамата в ткани печени крыс при экспериментальном рахите ( $M \pm m$ )

Промежуточный продукт обмена	Группа животных				
	I (здоровые)	II (с экспериментальным рахитом)	III (с рахитом, леченным витамином D <sub>3</sub> )	IV (с рахитом, леченным пирацетамом)	V (с рахитом, леченным витамином D <sub>3</sub> и пирацетамом)
$\alpha$ -Кетоглутарат	0,025 $\pm$ 0,004	0,094 $\pm$ 0,006*	0,033 $\pm$ 0,003 $\Delta$	0,026 $\pm$ 0,001 $\Delta$	0,025 $\pm$ 0,001 $\Delta$
Оксалоацетат	0,067 $\pm$ 0,003	0,131 $\pm$ 0,008*	0,084 $\pm$ 0,004* $\Delta$	0,070 $\pm$ 0,003 $\Delta$	0,067 $\pm$ 0,001 $\Delta$
Пируват	0,177 $\pm$ 0,001	0,233 $\pm$ 0,001*	0,164 $\pm$ 0,003 $\Delta$	0,180 $\pm$ 0,002 $\Delta$	0,173 $\pm$ 0,002 $\Delta$
Лактат	6,398 $\pm$ 0,204	8,955 $\pm$ 0,442*	4,39 $\pm$ 0,418* $\Delta$	5,915 $\pm$ 0,126 $\Delta$	6,690 $\pm$ 0,107 $\Delta$
Малат	0,811 $\pm$ 0,02	1,078 $\pm$ 0,018*	0,917 $\pm$ 0,019* $\Delta$	0,978 $\pm$ 0,015*	0,856 $\pm$ 0,02 $\Delta$
Глутамат	0,622 $\pm$ 0,08	0,894 $\pm$ 0,026*	0,964 $\pm$ 0,045* $\Delta$	0,634 $\pm$ 0,021 $\Delta$	0,627 $\pm$ 0,018 $\Delta$

\* Достоверность различий значений показателей по сравнению с таковыми нелеченых крыс II группы, \* то же по сравнению со значениями показателей здоровых крыс I группы.

В поисках путей коррекции выявленных нами нарушений кислородного обеспечения и метаболизма тканей крыс с экспериментальным рахитом использовали новый класс психотропных препаратов — ноотропы, оказывающие прямое активирующее влияние на интегративные механизмы мозга, улучшающие кортикально-субкортикальные связи, повышающие устойчивость мозга к стрессорным воздействиям, в том числе и к гипоксии [8]. В качестве ноотропа использовали пирацетам (ноотропил). В химическом отношении пирацетам может рассматриваться как циклический аналог одного из основных медиаторов центральной нервной системы —  $\gamma$ -аминомасляной кислоты (ГАМК). Препаратор обладает низкой токсичностью. Он усиливает сопротивление мозговых клеток гипоксии, улучшает капиллярное кровообращение в мозгу, потребление кислорода и глюкозы, повышает устойчивость организма к кислородному голоданию при различных формах экспериментальной гипоксии [11].

Таблица 3. Отношения концентраций некоторых метаболитов дегидрогеназных и окислительно-восстановительных реакций крыс разных групп с экспериментальным рахитом в условиях разделного и совместного введения витамина D<sub>3</sub> и пирацетама

Отношение концентраций метаболитов	Группа животных				
	I ( здоровые)	II (нелеченые с рахитом II степени)	III (с рахитом, леченый витамином D <sub>3</sub> )	IV (с рахитом, леченый пирацетатом)	V (с рахитом, леченным витамином D <sub>3</sub> и пирацетатом)
[Глутамат] / [ $\alpha$ -кетоглутарат]	25,2 $\pm$ 0,2	9,5 $\pm$ 1,0*	29,0 $\pm$ 0,3* $\Delta$	24,0 $\pm$ 0,2 $\Delta$	25,0 $\pm$ 0,5 $\Delta$
[Малат] / [оксало-акетат]	14,0 $\pm$ 0,6	8,0 $\pm$ 0,3*	11,1 $\pm$ 0,2* $\Delta$	14,1 $\pm$ 0,3 $\Delta$	13,6 $\pm$ 0,4 $\Delta$
[НАД <sup>+</sup> ] / [НАДH] (расчет по лактат-дегидрогеназной системе)	307,2 $\pm$ 3,4	259,1 $\pm$ 2,0*	457,4 $\pm$ 11,2* $\Delta$	328,3 $\pm$ 6,3 $\Delta$	297,8 $\pm$ 5,2 $\Delta$

\* Достоверность различий значений показателей по сравнению с таковыми здоровых животных,  $\Delta$  то же по сравнению со значениями показателей крыс с экспериментальным рахитом II степени.

С целью изучения антигипоксических свойств пирацетама при экспериментальном рахите проведено полярографическое определение  $pO_2$  в мышечной ткани бедра крыс. Показано, что исходное  $pO_2$  у крыс, леченных пирацетатом, практически не отличалось от такового у здоровых крыс и составляло 4,40 кПа $\pm$ 0,08 кПа при 2,85 кПа $\pm$ 0,1 кПа у нелеченых крыс с экспериментальным рахитом II степени.

Результаты функциональной нагрузки ингаляцией кислорода свидетельствуют о возможном улучшении капиллярно-тканевой диффузии и утилизации кислорода мышечной ткани крысят, леченных пирацетатом. Об этом можно было судить по повышению максимального прироста  $pO_2$  (% исходного значения) до 184,5% $\pm$ 1,1 % при 170,4% $\pm$ 3,11 % у нелеченых; уменьшению продолжительности латентного периода снижения  $pO_2$  до 25,2 с $\pm$ 1,2 с при 30,2 с $\pm$ 0,42 с у нелеченых и общей продолжительности времени, затраченного на утилизацию кислорода, до 172,2 с $\pm$ 1,4 с при 192,4 с $\pm$ 3,2 с у нелеченых.

Сравнительная характеристика динамики  $pO_2$  у крыс с экспериментальным рахитом, интактных и крыс, леченных пирацетатом, представлена на рисунке.

Для получения сведений о характере изменений метаболической адаптации к гипоксии с экспериментальным рахитом под действием различных способов лечения у животных изучено содержание субстратов цикла Кребса и глутамата в ткани печени животных (см. табл. 2). Наиболее эффективным в плане нормализации нарушенных при экспериментальном рахите показателям обмена трикарбоновых кислот является содержание глутамата в печени животных V группы, что подтверждается и данными табл. 3.

Следует подчеркнуть, что введение пирацетама в сочетании с витамином D<sub>3</sub> приводит к более выраженному улучшению показателей метаболизма, чем введение каждого из них отдельно. Об этом свидетельствует тот факт, что из всех исследованных показателей содержание глутамата в печени животных V группы, что подтверждается и данными табл. 3.

Следует подчеркнуть, что введение пирацетама в сочетании с витамином D<sub>3</sub> приводит к более выраженному улучшению показателей метаболизма, чем введение каждого из них отдельно. Об этом свидетельствует тот факт, что из всех исследованных показателей содержание глутамата в печени животных V группы, что подтверждается и данными табл. 3.

Динамика напряжения кислорода в мышечной ткани бедра крыс при экспериментальном рахите, нелеченых (а) и леченых (б) пирацетатом. По вертикали —  $pO_2$ , мм рт. ст.; по горизонтали — время, с. ↓ — начало вдоха; ↑ — окончание ингаляции  $O_2$ .

центрация  $\alpha$ -кетоглутамата соответствовала

О благоприятном результате процессов, выявленное нами уве- глатамат- и малатде, что применение одиночного приводило к нормализации только ви- лись от таковых у здоровых.

Свидетельством лические процессы, сравнению с витамином D<sub>3</sub> и [НАД<sup>+</sup>] к [НАДH]. Логичный эффект пирацетата с витамином холекальциферолом (в 1,5 раза) таковы.

Таким образом, проявления экспериментального обострения патологии данной патологии, показания к симптомов, совокупность гипоксии. К их числу системы, аппаратуры и гипоксии. Провождается иде-

Полученные ре-

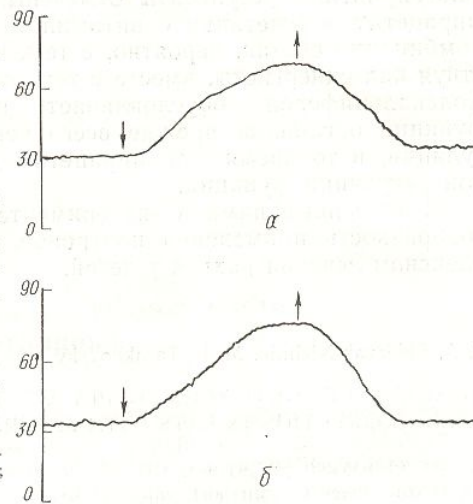
Физиол. журн., 1990,

исследованием показателя обмена трикарбоновых кислот в цикле Кребса, и с одновременным применением витамина D<sub>3</sub> с пиразетамом: у животных V группы к концу курсового лечения метаболические процессы полностью нормализовались.

Следует подчеркнуть, что при сравнительном анализе влияния витамина D<sub>3</sub> и пиразетама (при раздельном их применении) на обменные процессы более благоприятный эффект отмечен в случае использования последнего. Об этом судили по тому факту, что из всех исследованных показателей к концу курсового лечения не нормализовалось только содержание малата, хотя оно было существенно ниже по сравнению с таковым у нелеченых животных II группы. В то же время при изолированном введении животным с экспериментальным рахитом витамина D<sub>3</sub> отмечено, что только кон-

центрация  $\alpha$ -кетоглутарата и пирувата к концу лечения нормализовалась и соответствовала таковой у здоровых животных.

По вертикали —  $pO_2$ , мм рт. ст.; по горизонтали — время, с. ↓ — начало ингаляции  $O_2$ ; ↑ — окончание ингаляции  $O_2$ .



центрация  $\alpha$ -кетоглутарата и пирувата к концу лечения нормализовалась и соответствовала таковой у здоровых животных.

О благоприятном влиянии пиразетама на окислительно-восстановительные процессы в ткани печени при рахите свидетельствует также выявленное нами увеличение соотношения субстратов высокоактивных глутамат- и малатдегидрогеназных реакций (см. табл. 3). Показано, что применение одного пиразетама и его сочетания с холекальциферолом приводило к нормализации соотношений концентраций субстратов указанных дегидрогеназных реакций. В то же время при скармливании животным только витамина D<sub>3</sub> эти соотношения существенно отличались от таковых у здоровых животных.

Свидетельством более адекватного влияния пиразетама на метаболические процессы в печени крыс с экспериментальным рахитом по сравнению с витамином D<sub>3</sub> является восстановление значения отношения [НАД<sup>+</sup>] к [НАДН] до его значений у здоровых животных. Аналогичный эффект наблюдали и при комбинированном применении пиразетама с витамином D<sub>3</sub>, в то время как при использовании только холекальциферола значения этого отношения существенно превышают (в 1,5 раза) таковые у здоровых животных.

Таким образом, установлено, что одними из наиболее выраженных проявлений экспериментального рахита являются нарушения кислородного обеспечения и метаболизма тканей, которые зависят от тяжести данной патологии. Это согласуется с нашими клиническими наблюдениями, показавшими, что у детей, больных рахитом, есть ряд симптомов, совокупность которых мы расцениваем как проявления гипоксии. К их числу относятся функциональные расстройства нервной системы, аппарата кровообращения и дыхания. Косвенным подтверждением гипоксического генеза этих проявлений служат данные литературы о том, что гипоксическая гипоксия в барокамере у испытуемых сопровождается идентичными симптомами [3, 4].

Полученные результаты свидетельствуют о возможности коррекции

нарушений кислородного обеспечения и метаболизма в тканях крыс с экспериментальным рахитом с помощью ноотропа пирацетама. На это указывали повышение напряжения кислорода, усиление капиллярно-тканевой диффузии и утилизации его мышечной тканью подопытных животных. С этим, по-видимому, в значительной мере можно связать отмеченное после курса введения пирацетама восстановление уровня метаболизма в цикле Кребса и улучшение окислительно-восстановительных процессов в тканях животных с экспериментальным рахитом. Благоприятные результаты отмечены в группе животных, получавших пирацетам в сочетании с витамином D<sub>3</sub>. Положительный эффект этой комбинации связан, вероятно, с тем, что витамин D<sub>3</sub> и пирацетам, действуя как синергисты, вместе с тем отличаются по механизму действия. Холекальциферол обуславливает нормализацию гомеостатических функций организма прежде всего через механизмы гормональной регуляции, в то время, как пирацетам действует через механизмы нервной регуляции функций.

Полученные нами в эксперименте результаты обосновывают целесообразность применения ноотропов, в частности пирацетама, в комплексном лечении рахита у детей.

Z. A. Shkiryak-Nizhnik, M. L. Tarakhovsky

#### DISTURBANCES OF OXYGEN SUPPLY AND TISSUE METABOLISM, THEIR CORRECTION IN RATS WITH EXPERIMENTAL RACHITIS

Indices of oxygen supply are studied in preadolescent rats with experimental rachitis. Disturbances in transport, capillary-tissue diffusion and oxygen utilization by tissues of the brain, liver and skeletal muscles correlating with a degree of the rachitis gravity are revealed. It is proved as possible to correct the revealed disturbances while using pyracetam and vitamin D<sub>3</sub>. In this case manifestation of the tissue hypoxia in animals with experimental rachitis weakens and at the same time metabolic disturbances are eliminated.

Institute of Pediatrics, Obstetrics and Gynecology, Ministry of Public Health of the Ukrainian SSR, Kiev

#### СПИСОК ЛИТЕРАТУРЫ

1. Березовский В. А. К методике полярографического определения напряжения кислорода в органах и тканях // Фармакология и токсикология.—К.: Здоров'я, 1966.—№ 2.—С. 260—263.
2. Березовский В. А. Напряжение кислорода в крови и тканях при адаптации к гипоксии // Тез. докл. 2-го Всесоюз. симп. «Полярографическое определение кислорода в биологических объектах».—Кiev, 1972.—С. 18.
3. Гурвич Г. И. О приспособительных реакциях в условиях кислородной недостаточности: Автореф. дис. ...д-ра мед. наук.—Л., 1961.—27 с.
4. Гурвич Г. И. О приспособительных реакциях в условиях кислородной недостаточности // Сб. науч. тр. ГИКАМ.—М., 1973.—С. 26—29.
5. Ивашикевич С. П. Липиды, связанные с белками плазмы крови в норме и при экспериментальном рахите // Укр. біохім. журн.—1980.—52, № 1.—С. 97—102.
6. Лукьяннова Е. М., Родионов В. П. О механизме биологического действия гормона параситовидных желез при рахите // Педиатрия.—1977.—№ 3.—С. 84—86.
7. Мальцев С. В. Рахит у детей: некоторые вопросы этиологии, диагностики и классификации // Рахит и рахитоподобные заболевания.—М., 1978.—С. 3—11.
8. Машковский М. Д., Роццина Л. П., Полежаева И. А. Фармакологические свойства и клиническое применение пирацетама // Новые фармакологические препараты: Сб. науч. тр. ВНИХФИ, вып. 9.—М., 1982.—С. 110—120.
9. Омельченко Л. И., Кучер Е. И., Апуховская Л. И. Содержание 2, 3-дифосфоглицерата в эритроцитах крови, как показатель активности рахитического процесса у детей первых двух лет жизни // Здравоохранение.—Кишинев, 1981.—№ 2.—С. 31.
10. Омельченко Л. И. Патогенетические обоснования методов диагностики, прогнозирования и профилактики витамин-D-дефицитного рахита: Автореф. дис. ...д-ра мед. наук.—Кiev, 1985.—21 с.
11. Руденко Г. М. Результаты клинических испытаний отечественного препарата пирацетама // Новые фармакологические препараты: Сб. науч. тр. ВНИХФИ, вып. 9.—М., 1982.—С. 121—126.

Физиол. журн., 1990, т. 36, № 2

12. Руднев М. И. Патогенез и... мед. наук.—К., 1973.—25 с.
13. Фаткулина А. А. Дифференция при рахитоподобных заболеваниях практическая практика.—Вып. 16.
14. Царенко И. В. Комплексные средства, нормализующие мечевидную, 1985.—18 с.
15. Bergmeyer H. J., Bernt E. H. I. Bergmeyer.—Wienheim, 1974.
16. Bernt E., Bergmeyer H. I. G. 1974.
17. Hohorst H. J. Malate Oxaloacetate and its Clinical Application. Berlin, 1974.

Ин-т педиатрии, акушерства и гигиены здравоохранения УССР, г. Киев

УДК 616—056.3:612.215.612.12.94

Ю. К. Башмаков, Т. С. Брюк

#### Роль перитонеально-брюшного тучного анафилактоидного комплекса в развитии анафилактоидной реакции

Несмотря на единственный факт обнаружения в перитонеальных клетках костномозгового происхождения в селезенке и кишечнике существование по крайней мере гематоцитов слизистых оболочек [9]. Фенотипически существительностью к выделенному фактору, секреторной функции, включают в себя тучные клетки, анафилактоидные клетки, паренхимы лимфоидных и макрофагов. Несмотря на единственный факт обнаружения в перитонеальных клетках костномозгового происхождения в селезенке и кишечнике существование по крайней мере гематоцитов слизистых оболочек [9]. Фенотипически существительностью к выделенному фактору, секреторной функции, включают в себя тучные клетки, анафилактоидные клетки, паренхимы лимфоидных и макрофагов.

Цель нашей работы состояла в изучении механизма действия тучных клеток в изучении перитонеального тучного анафилактоидного комплекса после промывания брюшной полости жиро-кислотным спиртом.

#### Методика

В экспериментах на 47 крысах было проведено 47 опытов. В первом опыте введением интактных крыс в брюшную полость введенного в брюшную полость жиро-кислотного спирта на 60-й минуте развития анафилактоидной реакции.

Перед получением избытком 0,15 моль/л жиро-кислотного спирта проводили массаж живота на 10,0 мл 0,15 моль/л Натрия бикарбоната в течение 10 мин из осадка клоаки. Бронхолегочный спирт при легком массаже живота в течение 10 мин из осадка клоаки.

Физиол. журн., 1990,

- С  
то  
ю  
ых  
тъ  
ни  
и-  
м.  
их  
ой  
и-  
я.  
их  
е-  
в-  
е-  
и-  
с-  
у-  
г-  
с-  
е-
12. Руднев М. И. Патогенез и экспериментальная гипоксия плода : Автореф. дис. ...д-ра мед. наук.— К.— 1973.— 25 с.  
13. Фаткулина А. А. Дифференциальная диагностика первично-мышечных расстройств при рахитоподобных заболеваниях у детей // Теоретическая медицина и педиатрическая практика.— Вып. 16.— М., 1981.— С. 105—110.  
14. Царенко И. В. Комплексная терапия витамин-D-дефицитного рахита с включением средств, нормализующих межготочные обмены : Автореф. дис. ... канд. мед. наук.— Киев, 1985.— 18 с.  
15. Bergmeyer H. I., Bernt E.  $\alpha$ -Oxyglutarate // Methods of enzymatic analysis / Ed. H. I. Bergmeyer.— Wienheim : Verlag Chemie, 1963.— P. 324.  
16. Bernt E., Bergmeyer H. I. Glutamate // Ibid.— P. 384—388.  
17. Hohorst H. J. Malate Oxaloacetate // Ibid.— P. 329—334.

Ин-т педиатрии, акушерства и гинекологии  
М-ва здравоохранения УССР, Киев

Материал поступил  
в редакцию 17.02.89.

УДК 616—056.3:612.215.612.12.94

Ю. К. Башмаков, Т. С. Брюзгина

## Роль перitoneальной популяции тучных клеток в развитии анафилактоидного шока

Несмотря на единый гистогенез тучных клеток из клеток-предшественников костномозгового происхождения, персистирующих преимущественно в селезенке и мезентериальных лимфоузлах [7], известно существование по крайней мере двух субпопуляций тучных клеток — мастоцитов слизистых оболочек и мастоцитов соединительной ткани [9]. Фенотипически субпопуляции различаются ультраструктурой, чувствительностью к выделяемому Т-лимфоцитами дифференцировочному фактору, секреторной компетентностью [6]. В частности, бронхоальвеолярные тучные клетки продуцируют в 3 раза больше простаглана-дина  $F_{2\alpha}$  и значительно меньшее количество лейкотриена  $C_4$ , чем мастоциты паренхимы легкого [8]. Однако предполагается, что наибольшей секреторной и миграционной активностью обладает перitoneальная популяция тучных клеток [11].

Цель нашей работы — изучение роли перitoneальной популяции тучных клеток в изменении клеточного состава смыва, полученного после промывания перitoneальной и бронхоальвеолярной полостей, жирнокислотного спектра фосфолипидов альвеолярного сурфактанта при анафилактоидном шоке.

### Методика

В экспериментах на 47 крысах-самцах массой 0,18—0,2 кг проведено две серии основного опыта. В первой — анафилактоидный шок вызывали однократным внутрибрюшинным введением интактным крысам 1,0 мл нативного белка куриного яйца. Во второй — анафилактоидный шок у крыс моделировали на фоне предварительного (за 72 ч) внутрибрюшинного введения 10,0 мл дистиллированной воды, приводящего к полному исчезновению тучных клеток из брюшной полости [1]. Крысам контрольной группы внутрибрюшинно вводили эквивалентный объем NaCl (0,15 моль/л). Животных брали в опыт на 60-й минуте развития анафилактоидного шока.

Перед получением перitoneального смыва брюшинную полость крыс промывали избыtkом 0,15 моль/л NaCl. Суспензию перitoneальных клеток получали нетравматическим массажем живота крыс, которым предварительно внутрибрюшинно вводили 10,0 мл 0,15 моль/л NaCl. Для получения смыва дыхательных путей отмытую поверхность висцеральной плевры подвергали множественным (до 20 на каждом легком) проколам. Бронхолегочный препарат перфузировали через трахею 10,0 мл раствора Рингера при легком массаже ткани легкого. После центрифugирования смыва при 65 г в течение 10 мин из осадка бронхоальвеолярных клеток путем осмоскопа удаляли примеси

эритроцитов. Перитонеальные и бронхоальвеолярные супензии клеток фильтровали через нейлоновый фильтр и отмывали в аналогичном режиме центрифугирования в 10,0 мл NaCl (0,15 моль/л). Цитологическую идентификацию клеточных элементов проводили микроскопически в суправитально окрашенных мазках [2].

Жирнокислотный состав фосфолипидов солевых экстрактов альвеолярного сурфактанта, выделенных из ткани легкого методом дифференциального центрифугирования [12] через 60 мин после введения животным анафилактогена, исследовали на газожидкостном хроматографе Цвет-164 с пламенно-ионизационным детектором [3]. Результаты исследования обрабатывали статистически с помощью методов Стьюдента и Вилкоксона — Манна — Уитни.

### Результаты и их обсуждение

Исследование перитонеального смыва крыс при анафилактоидном шоке показало, что внутрибрюшинное введение яичного белка приводит к тотальной дегрануляции тучных клеток при неизменности их общего содержания, появлению в клеточных супензиях изолированных базофильных гранул лаброцитов. Отмеченные признаки активации секреторной функции перитонеальных тучных клеток подтверждают представления об анафилактоидной реакции крыс на введение яичного белка как состояния, связанном с неиммунологической либерацией

Таблица 1. Характеристика клеточного состава перитонеального и бронхоальвеолярного смывов крыс при анафилактоидном шоке ( $X \pm M$ )

Условие эксперимента	Число животных	Относительное содержание клеточных элементов, % общего			
		тучные клетки	макрофаги	лимфоциты	гранулоциты
<b>Перитонеальный смыв (средние значения из 64 определений на 16 крысах)</b>					
Введение NaCl (контроль)	8	9,87 ± 1,40	56,37 ± 2,55	34,25 ± 2,55	0,75 ± 0,34
Анафилактоидный шок (1-я серия)	8	11,25 ± 1,29 $P_c > 0,05$	46,12 ± 2,14 $P_c < 0,05$	41,50 ± 2,22 $P_c < 0,05$	1,37 ± 0,20 $P_c > 0,05$ $P_b < 0,05$
<b>Бронхоальвеолярный смыв (средние значения из 125 определений на 25 крысах)</b>					
Введение NaCl (контроль)	8	0,50 ± 0,22	68,37 ± 1,68	30,75 ± 1,81	0,37 ± 0,23
Анафилактоидный шок (1-я серия)	8	2,62 ± 0,37 $P_c < 0,05$	73,63 ± 2,54 $P_c < 0,05$	21,87 ± 2,51 $P_c < 0,05$	1,12 ± 0,20 $P_c < 0,05$
Анафилактоидный шок в условиях дефицита перитонеальных тучных клеток (2-я серия)	9	— $P_c < 0,05$	61,88 ± 1,78 $P_c < 0,05$	37,33 ± 1,80 $P_c < 0,05$	0,77 ± 0,26 $P_c > 0,05$ $P_c^1 < 0,05$ $P_c^1 > 0,05$

Примечание. Здесь и в табл. 2  $P_c$  и  $P_b$  — достоверность различия опытных значений по сравнению с контрольными по критериям Стьюдента (С) и Вилкоксона — Манна — Уитни (В),  $P_c^1$  и  $P_b^1$  достоверность межгрупповых различий по тем же критериям.

Таблица 2. Жирнокислотный спектр фосфолипидов альвеолярного сурфактанта при анафилактоидном шоке

Условие эксперимента	Число животных	Относительное содержание жирных кислот, %		
		C <sub>14:0</sub>	C <sub>15:0</sub>	C <sub>16:0</sub>
Введение NaCl (контроль)	7	0,33 ± 0,06	—	41,01 ± 2,33
Анафилактоидный шок (1-я серия)	7	—	—	35,15 ± 0,53 $P_c < 0,05$
Анафилактоидный шок в условиях дефицита перитонеальных тучных клеток (2-я серия)	8	—	—	33,02 ± 1,75 $P_c < 0,05$ $P_c^1 > 0,05$

Примечание. Чертоточка означает, что жирные кислоты или клеточные элементы в пробах не обнаруживаются.

Физiol. журн., 1990, т. 36, № 2

медиаторов из лаброцитов клеточного состава перитонеума выражались увеличенными за счет уменьшения числа

Однако свойственное держания тучных клеток блокируется предварителем лаброцитов. Поэтому, не лежность перитонеального содержания тучных клеток в газожидкостном хроматографе Цвет-164 с пламенно-ионизационным детектором [3]. Результаты исследования обрабатывали статистически с помощью методов Стьюдента и Вилкоксона — Манна — Уитни.

Истощение перитонеума в бронхоальвеолярных клетках, обладающих фагоцитарными, клеток реснитчатого альвеолярного пространства, особенно со следствие хемотаксиса,ющий в начальную фазу.

Исследование показало, что клеток блокирует разрыв тенденции к уменьшению арахидоновой кислоты с менее активными в выстилающем компоненте анафилактоидного фосфолипида, ацилирующего фосфатидилсерина, при анафилактоидных группах было в альвеолярной гипофазы фосфолипазы A<sub>2</sub>, но в отсутствии фосфолипидов фагоцитами, обладающими форму фермента [4].

Установленная повышением содержания состоянием перитонеума, что известный аллергический предшественник является единственной в органах дыхания. И

медиаторов из лаброцитов [5]. Перераспределительные изменения клеточного состава перитонеального смыва при анафилактоидном шоке выражались увеличением содержания лимфоцитов, происходящем за счет уменьшения числа макрофагов (табл. 1).

Однако свойственное для анафилактоидного шока повышение содержания тучных клеток в бронхоальвеолярном секрете (см. табл. 1) блокируется предварительным истощением перитонеальной популяции лаброцитов. Поэтому, несмотря на различную популяционную принадлежность перитонеальных и альвеолярных лаброцитов, факт повышения содержания тучных клеток в бронхоальвеолярном секрете при шоке можно рассматривать как следствие миграции перитонеальных тучных клеток из брюшной полости в органы дыхания. Подобное предположение обусловлено сведениями о бипотентности части лаброцитов соединительнотканного происхождения, способных к вегетированию и в слизистых оболочках [13].

Истощение перитонеальной популяции лаброцитов упреждало на-  
копление в бронхоальвеолярном смыве не только тучных клеток, но и  
клеток, обладающих фагоцитарной активностью — макрофагов, грану-  
лоцитов, клеток ресниччатого эпителия. Поэтому, формирование в брон-  
хоальвеолярном пространстве при анафилактоидном шоке клеточной  
реакции, особенно со стороны гранулоцитов, можно рассматривать как  
следствие хемотаксигенного действия гранул тучных клеток, вовлека-  
ющих в начальную фазу миграции преимущественно гранулоциты [10].

Исследование закономерностей изменения жирнокислотного соста-  
ва фосфолипидов альвеолярного сурфактанта при анафилактоидной  
реакции показало, что истощение перитонеальной популяции тучных  
клеток блокирует развитие свойственной для анафилактоидной реак-  
ции тенденции к уменьшению содержания в фосфолипидах сурфактанта  
аракидоновой кислоты (табл. 2). Это явление, по-видимому, не свя-  
зано с менее активным характером реакций фосфолипазного гидролиза  
в выстилающем комплекс легкого, поскольку содержание пальмитата,  
ацилирующего фосфолипиды сурфактанта легких в C<sub>2</sub>-положении гли-  
цирина, при анафилактоидном шоке у животных обеих эксперимен-  
тальных групп было одинаково низким. Вероятно, тучные клетки аль-  
веолярной гипофазы не принимают прямого участия в экзоцитозе  
фосфолипазы A<sub>2</sub>, но опосредуют свою регулирующую функцию в отно-  
шении фосфолипидов сурфактанта в кооперации с альвеолярными мак-  
рофагами, обладающими способностью секретировать водорастворимую  
форму фермента [4].

Установленная при анафилактоидном шоке зависимость между по-  
вышением содержания тучных клеток в бронхоальвеолярном смыве и  
состоянием перитонеальной популяции мастоцитов позволяет считать,  
что известный аллергенспецифический механизм стимуляции клеток  
предшественников мастоцитов тимическими факторами [7] не является  
единственной возможной причиной гиперплазии тучных клеток в  
органах дыхания. Изменения клеточного состава бронхоальвеолярного

#### ана кание филактоидном шоке

жирных кислот, %					
C <sub>18:0</sub>	C <sub>18:1</sub>	C <sub>18:2</sub>	C <sub>20:3</sub>	C <sub>20:4</sub>	C <sub>22:3</sub>
23,91±1,76 P <sub>c</sub> >0,05	19,40±0,52 P <sub>c</sub> <0,05	3,21±0,42 P <sub>c</sub> >0,05	0,40±0,09 —	10,11±1,06 P <sub>c</sub> >0,05 P <sub>B</sub> <0,05	1,55±0,16 3,61±0,20 P <sub>c</sub> <0,05
23,65±0,70 P <sub>c</sub> >0,05	27,38±1,34 P <sub>c</sub> <0,05	2,40±0,17 P <sub>c</sub> >0,05		7,78±0,72 P <sub>c</sub> >0,05 P <sub>B</sub> <0,05	
22,47±1,54 P <sub>c</sub> >0,05 P <sub>Ic</sub> >0,05	26,48±1,02 P <sub>c</sub> <0,05 P <sub>Ic</sub> <0,05	5,58±1,62 P <sub>c</sub> >0,05 P <sub>Ic</sub> >0,05	0,83±0,15 P <sub>c</sub> <0,05 P <sub>Ic</sub> <0,05	8,92±0,54 P <sub>c</sub> >0,05 P <sub>Ic</sub> <0,05 P <sub>B</sub> >0,05	2,37±0,51 P <sub>c</sub> >0,05 P <sub>Ic</sub> <0,05 P <sub>c</sub> >0,05

ах не обнаруживаются.